

Análisis del comportamiento elastoplástico con daño continuo de un suelo granular cementado artificialmente y reforzado con fibras de polipropileno

Eduardo Bittar, Cesar Iberbuden, Arturo Ruiz Diaz, Rubén López, Antonio Aquino, Alejandro Quiñonez

Introducción: en conocimientos generales, el daño de los materiales es el transcurso físico progresivo por el cual se rompen los mismos. La mecánica del daño es el estudio, a través de variables mecánicas, de los elementos involucrados en el deterioro de los materiales cuando son sometidos a cargas. La teoría del daño continuo ha sido ampliamente utilizado para modelar el comportamiento tensión-deformación de concretos y también rocas. En suelos, la utilización de esta mecánica es aún escasa.

Objetivo: estudiar el comportamiento al daño de suelos artificialmente cementados reforzados con fibras sometidos a bajos ciclos de carga y descarga, mediante la degradación del módulo elástico.

Programa Experimental

Ensayos triaxiales de bajos ciclos se realizaron sobre cuerpos de prueba con dos porcentajes de cemento (3% y 5%) dos pesos específicos aparentes secos (17kN/m^3 y 18kN/m^3) a 8,4% de humedad y tres presiones de confinamiento (20kPa, 50kPa y 100kPa). Todos los ensayos fueron realizados a un tiempo de curado de 7 días. Seis ciclos de carga se realizaron hasta llegar a una deformación de 6% con respecto al punto de inflexión inicial, presentado en la Figura 1. Por último, se realizó una recarga final hasta llegar a una deformación total de 15%. La variación del daño mediante la degradación del módulo elástico fue analizado (Tabla 1).

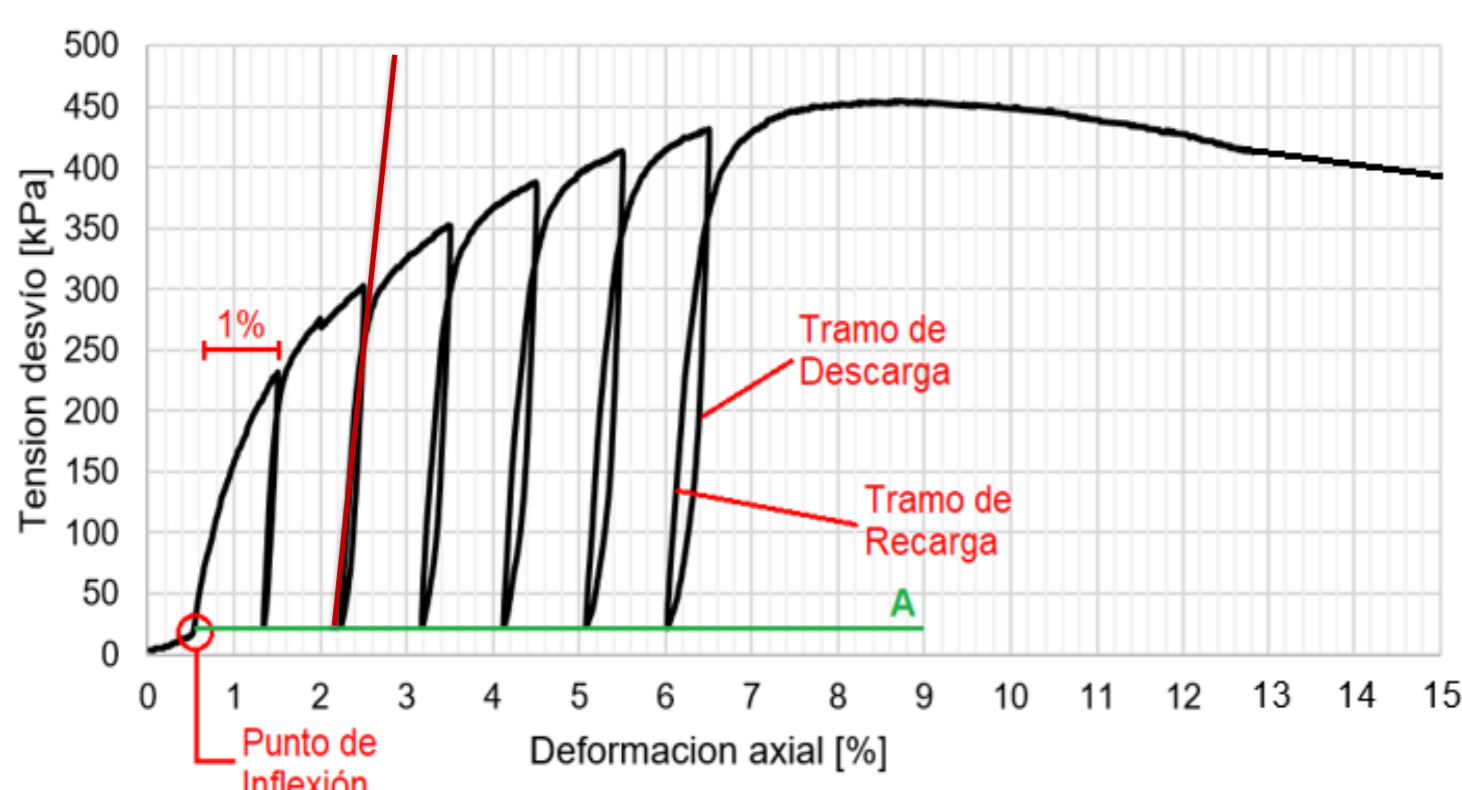


Figura 1 Esquema de cargas y deformaciones

Forma de medición	Daño	Frágil	Dúctil	Fluencia	Bajos ciclos de fatiga	Altos ciclos de fatiga
Directa	$\frac{\Delta \sigma_p}{\sigma_p}$	x	xx	xx	x	x
Módulo Elástico	$1 - \frac{E}{E_0}$	xx	xxx	xxx	xxx	
Ondas de ultrasonido	$1 - \frac{V_L^2}{V_{L0}^2}$	xxx	xx	xx	x	x
Densidad	$1 - \frac{\rho}{\rho_0}$		xx	x	x	
Resistencia eléctrica	$1 - \frac{V}{V_0}$	x	xx	xx	x	x
Resistencia plástica cíclica	$1 - \frac{\Delta \sigma_p}{\Delta \sigma_{p0}}$		x	x	xx	x
Fluencia lenta terciaria	$1 - \left(\frac{\dot{\epsilon}_p}{\dot{\epsilon}_{p0}}\right)^{1/N}$		x	xxx	x	

Tabla 1 Técnicas de mediciones de daño

Resultados

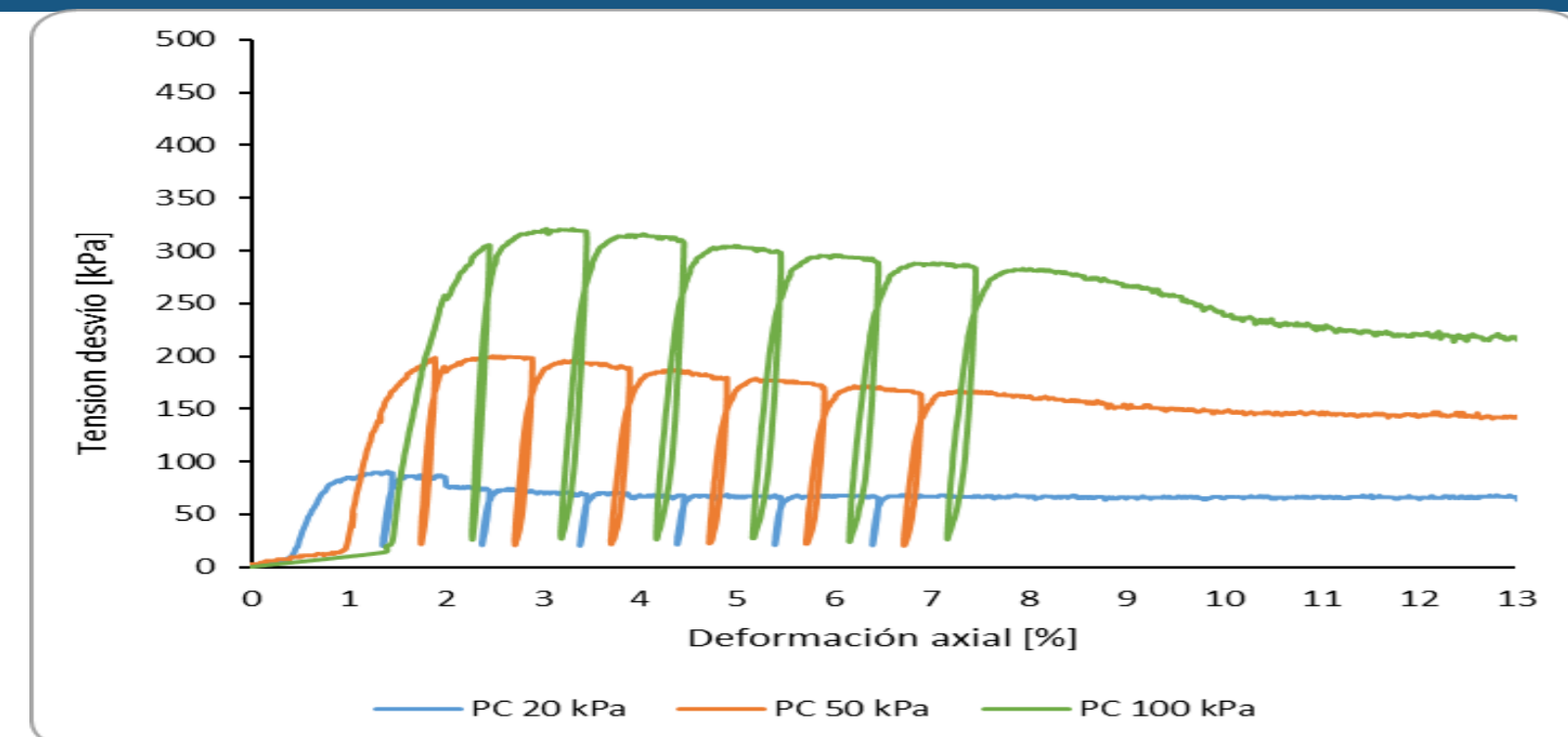


Figura 2 Cuerpos de prueba con PE 17kN/m^3 y 0,5% de fibra sin cemento

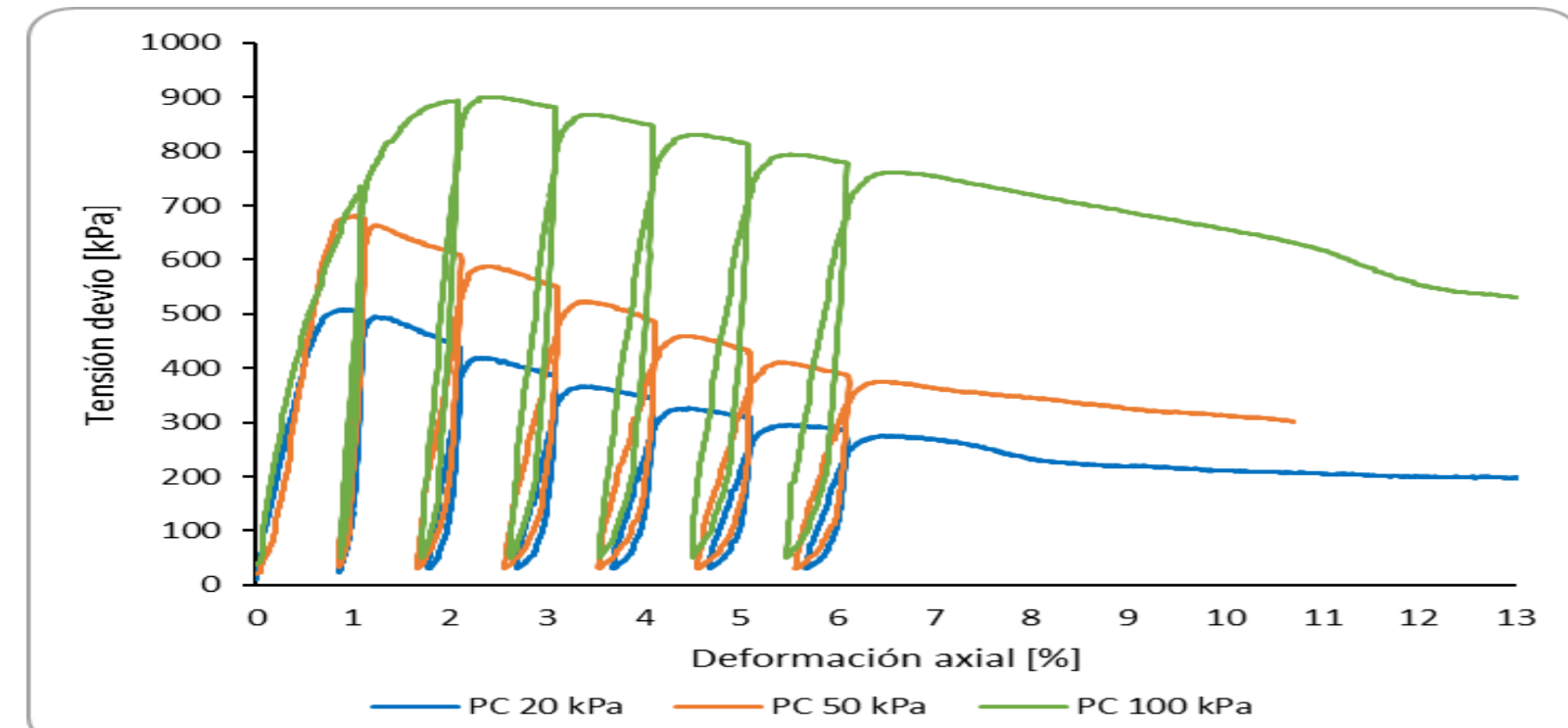
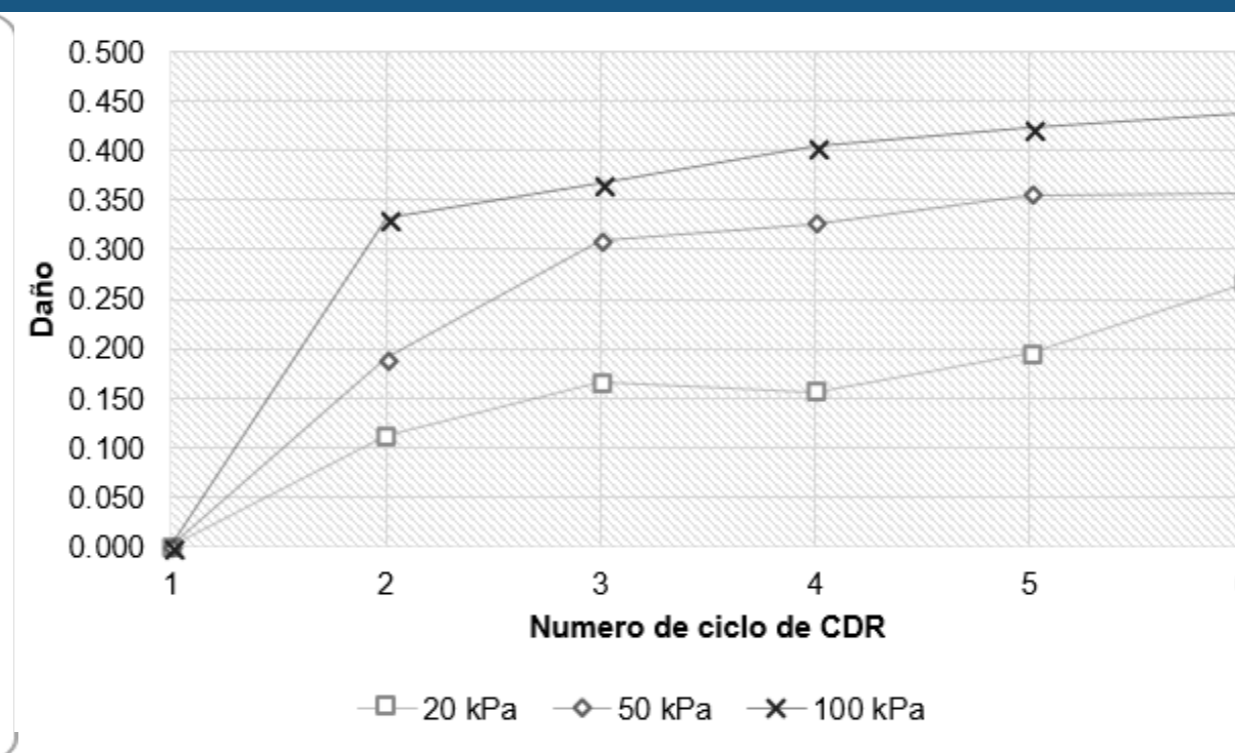


Figura 3 Cuerpos de prueba con PE 17kN/m^3 y 3% de cemento

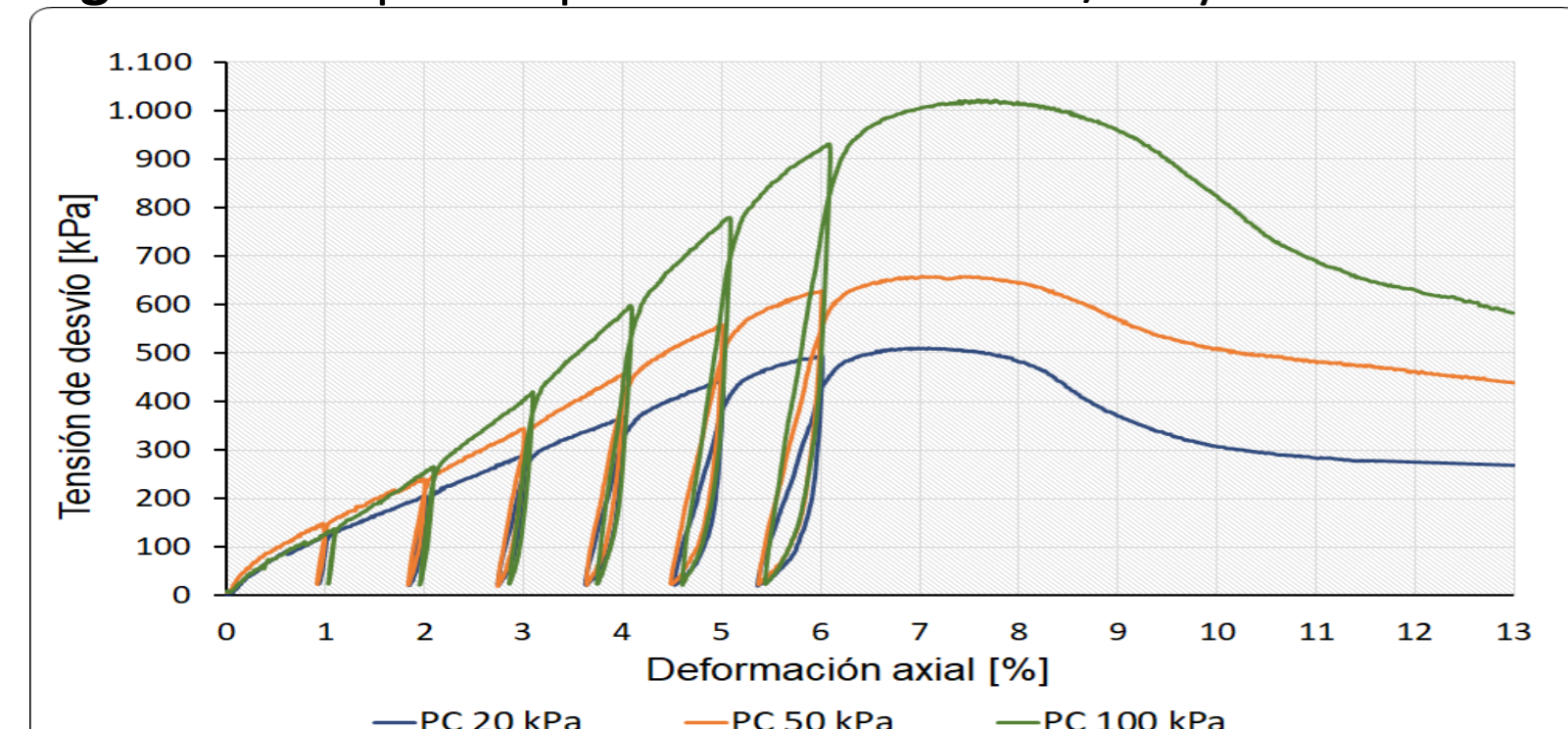
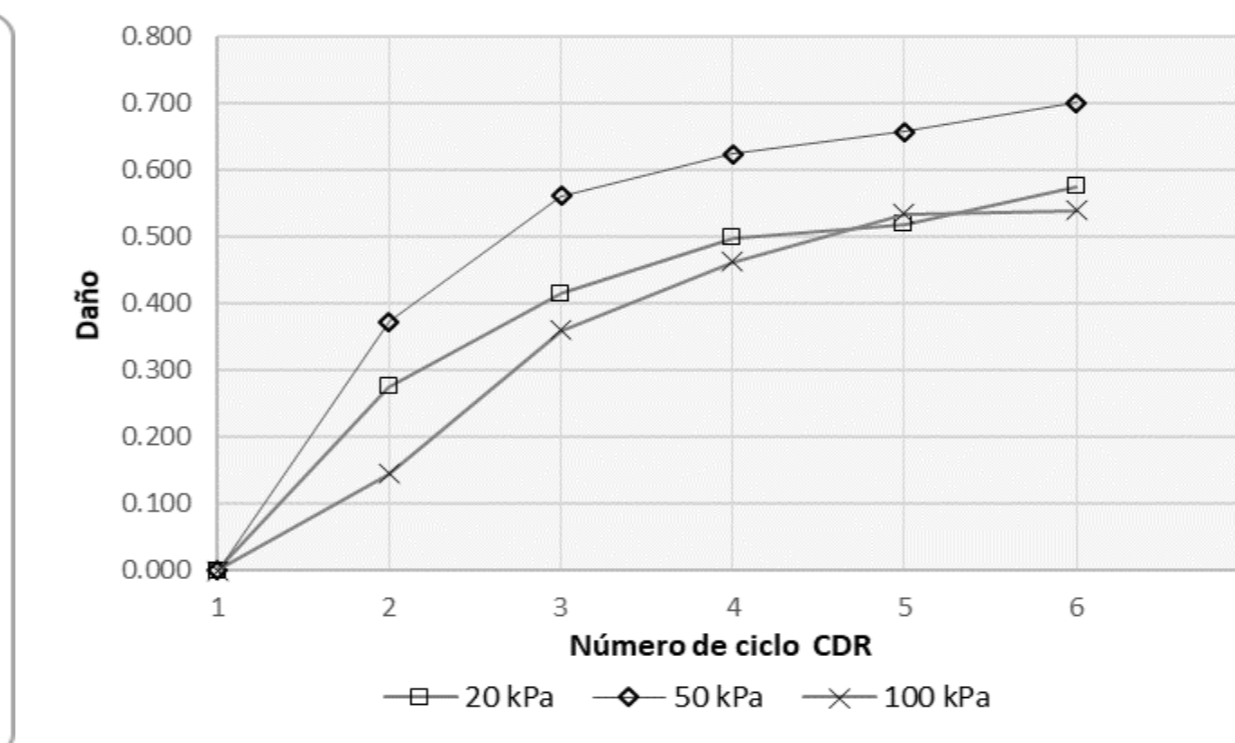


Figura 4 Cuerpos de prueba con PE 17kN/m^3 , 3% de cemento y 0,5% de fibras

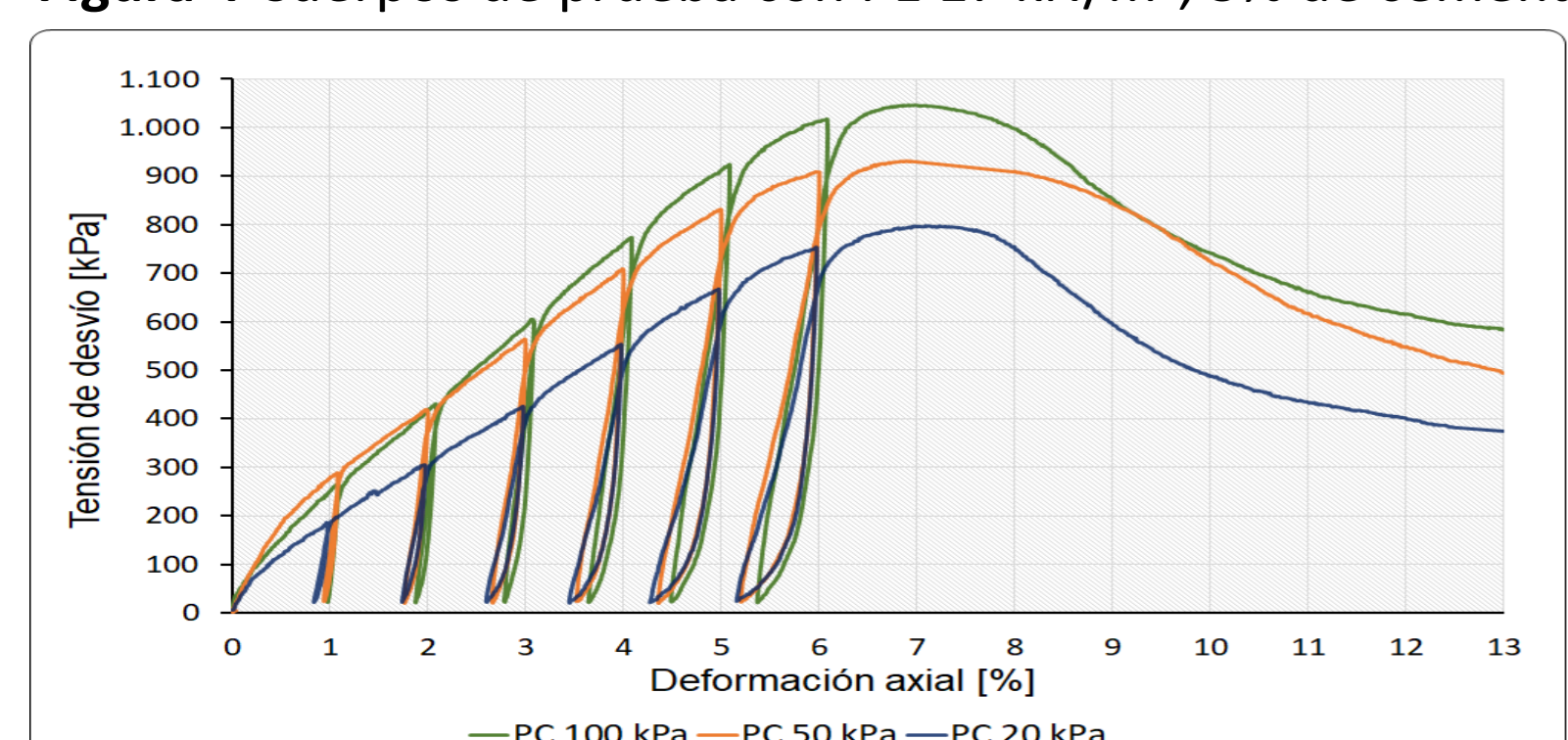
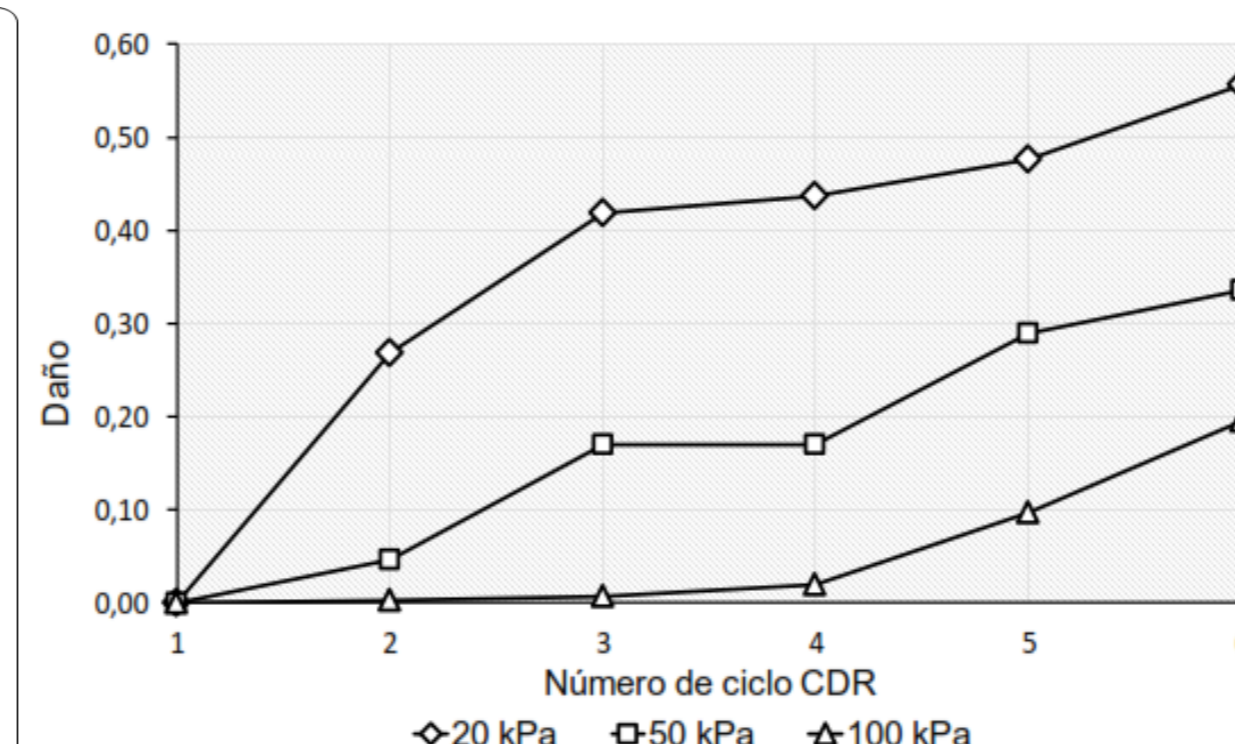


Figura 5 Cuerpos de prueba con PE 17kN/m^3 , 5% de cemento y 0,5% de fibras

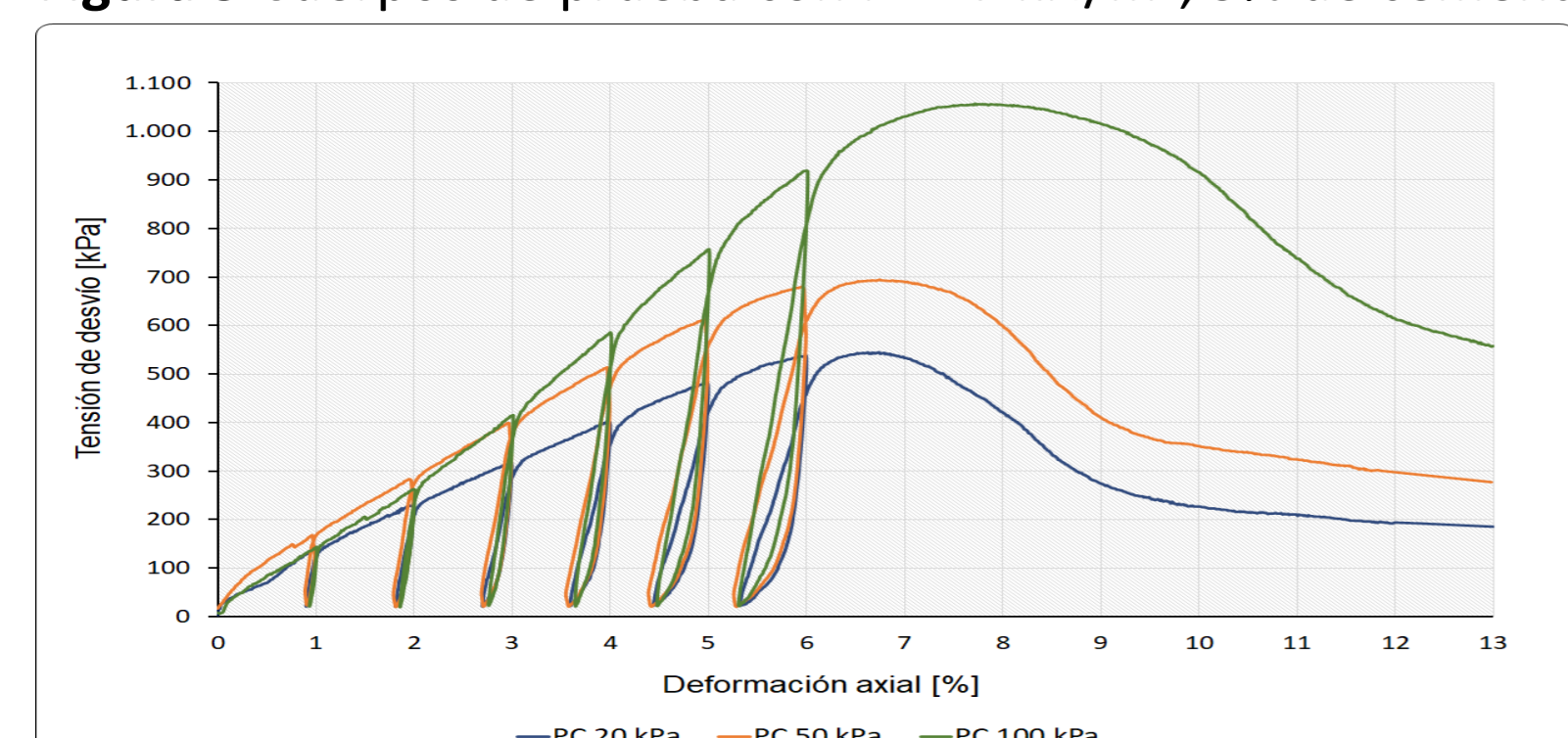
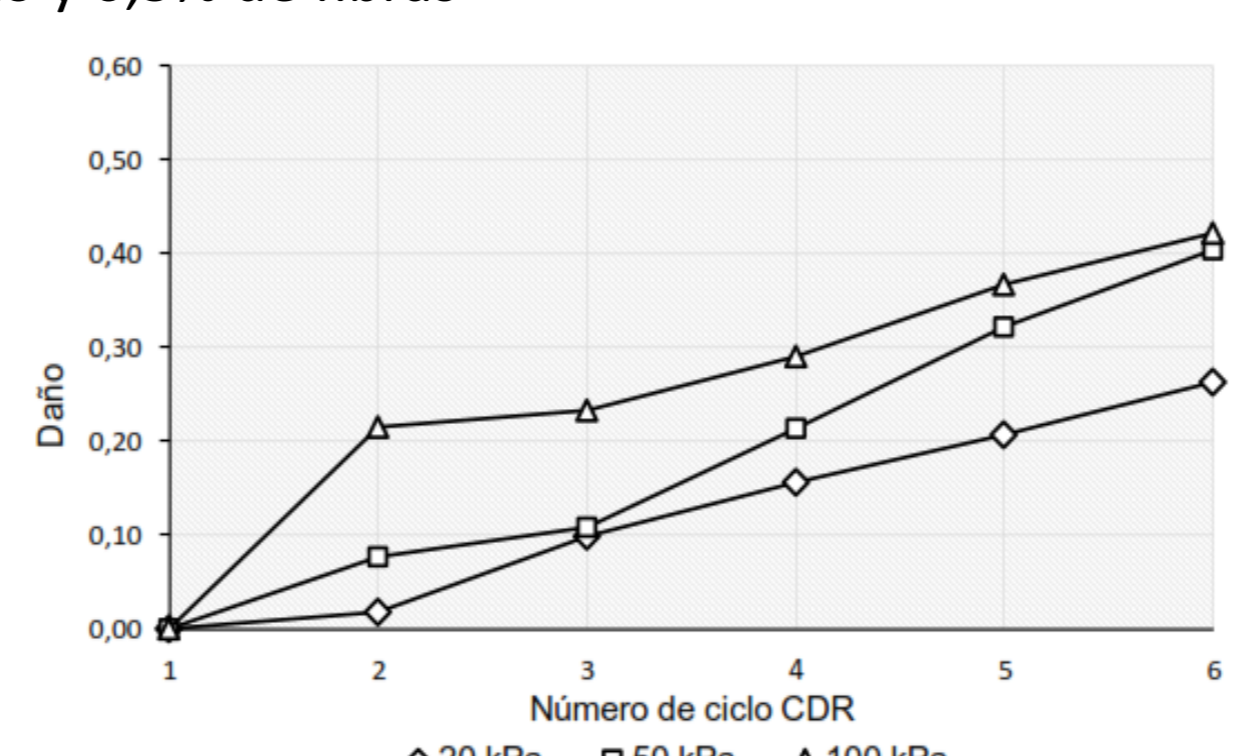


Figura 6 Cuerpos de prueba con PE 18kN/m^3 , 3% de cemento y 0,5% de fibras

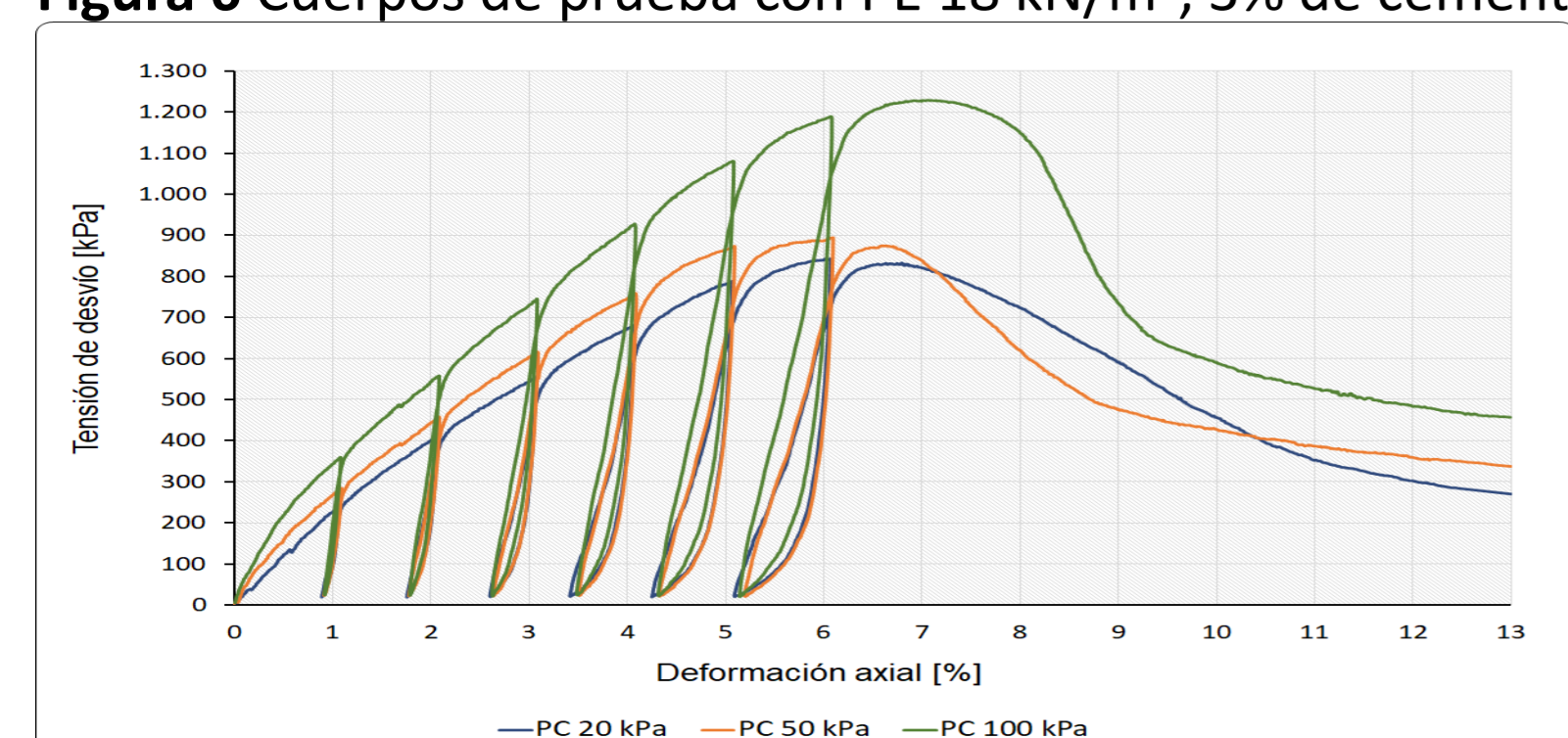
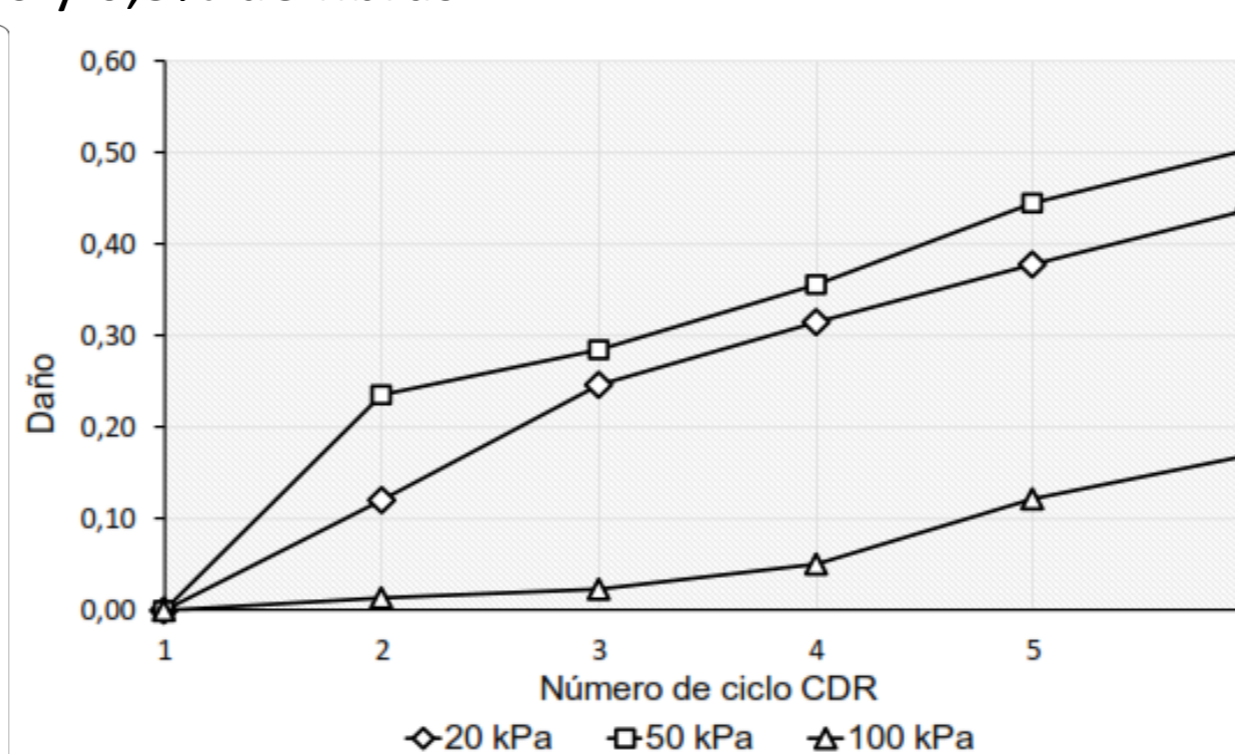
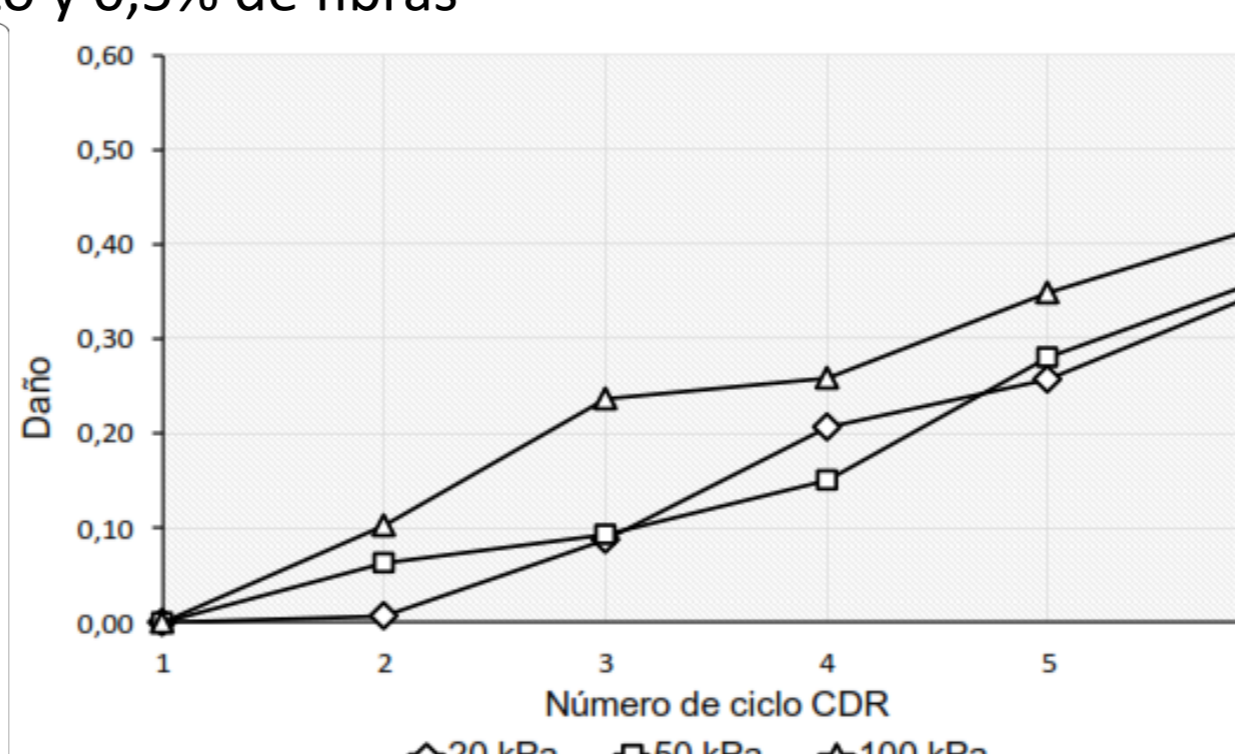


Figura 7 Cuerpos de prueba con PE 18kN/m^3 , 5% de cemento y 0,5% de fibras



En la Figura 2 se observa la evolución del daño sobre el suelo sin adiciones ni refuerzos variando de 0,25 a 0,5.

En la Figura 3 se nota que la adición de 3% de cemento aumentó el daño de este variando ahora de 0,5 a 0,7.

En la Figuras 4 y 5 con PE de 17kN/m^3 se puede observar una disminución del daño del material cementado a 3% y 5% respectivamente con la adición de 0,5% fibras. Con la adición de fibras y 3% de cemento (Figura 4) el daño varió de 0,2 a 0,55 aproximadamente. Con la adición de fibras y 5% de cemento (Figura 5) el daño varió de 0,28 a 0,40 aproximadamente.

En la Figuras 6 y 7 con PE de 18kN/m^3 a 3% y 5% se pueden observar comportamientos similares a lo anteriormente mencionado.

Conclusiones

La adición de cemento mostró aumentar la resistencia pico del suelo arenoso, su rigidez y por ende su fragilidad. Así también, un mayor daño fue medido en las mezclas de suelo cemento en comparación al suelo natural (esto se traduce a mayores fisuras).

La adición de fibras de polipropileno al suelo cemento mejoró el comportamiento frágil de este dándole mayor ductilidad, incluso aumento de resistencia de pico. Además, el daño se vio disminuido con la adición de fibras al suelo cemento, lo que afirmaría su efectividad contra la formación de fisuras. La variación tanto de la cantidad de cemento (de 3% a 5%) como de los PE (de 17kN/m^3 a 18kN/m^3) influenciaron en el comportamiento tensión-deformación del material, mas no tuvieron influencia significativa en el daño de este.

Se pudo observar que en el suelo natural mayores presiones de confinamiento generaron mayor daño mientras que en el suelo cemento y el suelo cemento reforzado con fibras mayores presiones de confinamiento registraron menores daños.